

北海道大学工学部 正員 奥村 勇

1. まえがき 前回には、厳正解が困難となるようすうな周辺条件を持つ直交異方性扇形平板の階差法による解法を発表したが、今回は図-1に示すような周方向に連続し、且つ極方向と接線方向上で剛度を異にする連続直交異方性扇形平板の曲げ問題を扱う。

2. 基本微分方程式  $\theta$  方向の剛度を  $N_\theta$ ,  $\theta$  方向の剛度を  $N_\theta$  とし、 $c^2 = N_\theta / N_r$  とする。直交異方性扇形平板の微分方程式は次式となる。

$$\rho - N_r \left[ \frac{\partial^2 w}{\partial r^4} + \frac{2}{r} \frac{\partial^2 w}{\partial r^3} + \frac{2c}{r^2} \frac{\partial^2 w}{\partial r^2 \partial \theta^2} - \frac{2c}{r^3} \frac{\partial^2 w}{\partial r \partial \theta^2} + \frac{2(c+c^2)}{r^4} \frac{\partial^2 w}{\partial \theta^2} + \frac{c^2}{r^3} \frac{\partial^2 w}{\partial r^2} \right. \\ \left. - \frac{c^2}{r^2} \frac{\partial^2 w}{\partial r^2} + \frac{c^2}{r^4} \frac{\partial^2 w}{\partial \theta^2} \right] \quad (1)$$

## 3. 階差方程式・諸算

(A) 一般の内点 図-2のように格子点配置で(1)式を階差方程式に表わすと次式を得る。

$$\rho \Delta / N_r = Z_k w_k + Z_m w_m + Z_n w_n + Z_i w_i + Z_p w_p + Z_r w_r \\ + Z_u w_u + Z_g w_g + Z_v w_v + Z_w w_w + Z_s w_s + Z_t w_t \quad (2a)$$

$$\therefore \because Z_k = 2 \left\{ 3 + \frac{1}{r^2} (c^2 \lambda^2 + 4c \lambda^2) - \frac{\lambda^2}{r^2} \{ 2\lambda^2 (c + c^2) \} \right. \\ \left. - 3c^2 \lambda^2 \} \right\},$$

$$Z_i = - \left[ 4 \left( 1 - \frac{\lambda}{2r} \right) + \frac{1}{r^2} \left( 1 + \frac{\lambda}{2r} \right) (c^2 \lambda^2 + 4c \lambda^2) \right], \quad Z_u = Z_v = \frac{c^2 \lambda^4}{r^4},$$

$$Z_m = - \left[ 4 \left( 1 + \frac{\lambda}{2r} \right) + \frac{1}{r^2} \left( 1 - \frac{\lambda}{2r} \right) (c^2 \lambda^2 + 4c \lambda^2) \right], \quad Z_s = 1 + \frac{\lambda}{r}, \quad Z_t = 1 - \frac{\lambda}{r},$$

$$Z_n = Z_r = - \frac{4\lambda^2}{r^2} \left[ c - \frac{1}{2r^2} \{ \lambda^2 (c + c^2) - 2c \lambda^2 \} \right], \quad \text{但し } \lambda = \lambda / 4$$

$$Z_0 = Z_g = - \frac{2c \lambda^2}{r^2} \left( 1 + \frac{\lambda}{2r} \right), \quad Z_p = Z_r = \frac{2c \lambda^2}{r^2} \left( 1 - \frac{\lambda}{2r} \right) \quad (2b)$$

## (B) 中間支点附近の格子点

中間支点には変位をきもつとすると、図-3aに対しても、格子点  $P, m, o$  の座標値  $w_P, w_m, w_o$  となるので次式を得る。

$$\rho \Delta / N_r = Z_k' w_k + Z_l w_l + Z_i w_i + Z_r w_r \\ + Z_g w_g + Z_m' w_m + Z_v' w_v + Z_u' w_u \\ + Z_s w_s + Z_t w_t \quad (3a)$$

$$\therefore \because Z_k, Z_l, Z_g, Z_r, Z_s, Z_t \text{ は (2b) 式}$$

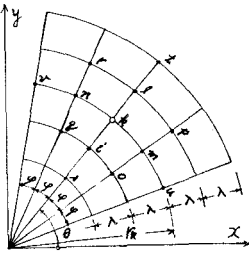
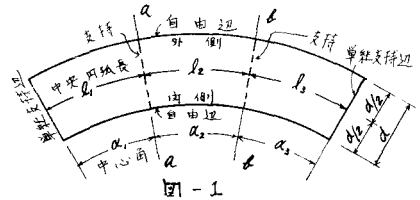


図-2

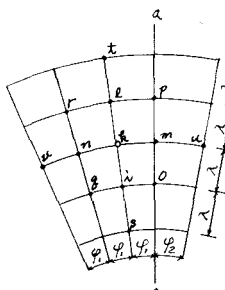


図-3a

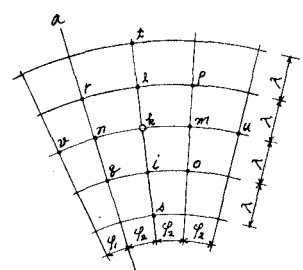


図-3b

くより。 $\beta = \varphi_1 / \varphi_2$  とすると  $Z_k'$ ,  $Z_m'$ ,  $Z_u'$  および  $Z_v'$  に対しては次式を得る。

$$Z_k' = Z_k - \frac{6c^2\alpha^2}{r^2} \frac{\beta-1}{\beta+1}, \quad Z_m' = Z_m + \frac{4c^2\alpha^2}{r^4} \frac{\beta-1}{\beta+2}, \quad Z_u' = \frac{24}{\beta(\beta+1)(\beta+2)(\beta+3)} Z_u$$

$$Z_v' = \frac{4}{\beta+3} \quad (3 \text{ b})$$

図-3 b) に対しては、 $\beta$ を  $\beta' = \varphi_1 / \varphi_2$  とすと、(3 a) 式のサフィックス  $n$ ,  $v$ ,  $r$ ,  $\theta$ を  $m$ ,  $u$ ,  $p$ ,  $o$  それぞれ置き換えるとする。中間支点と外側自由辺とに構接した格子点 (図-4) に対しては  $(M_r)_k=0$  の周辺条件より外点の固有値を消去するより次式を得る。

$$\frac{p\lambda^4}{Nr} = (Z_k' - Z_k) w_k + (Z_k + 2Z_m) w_e + Z_i w_i + Z_m w_m + Z_u' w_u \\ + Z_v' w_v + Z_s w_s + Z_g w_g + Z_r w_r \quad (4)$$

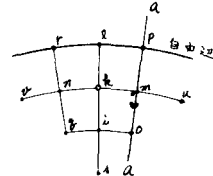


図-4

こゝに  $Z_k'$ ,  $Z_m'$ ,  $Z_u'$  および  $Z_v'$  は (3 b) 式による。外側自由辺上にみた格子点 (図-5) に対しては、 $(V_r)_k=0$  および  $(M_r)_{k,n}=0$  の周辺条件により外点を消去して次式を得る。

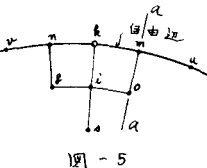


図-5

$$\frac{p\lambda^4}{Nr} = 2 \left[ 1 + \frac{1}{r^2} (\lambda^2 c^2 + 4c\alpha^2) + \frac{\lambda}{r^3} \{ 3c^2\lambda^2 + 4\alpha^2(c - c^2) \} \right. \\ \left. - \frac{\alpha^2}{r^4} \{ 2\lambda^2(3c + 2c^2) - \frac{6c^2\alpha^2}{\beta+1} \} \right] w_k - 2 \left[ 2 + \frac{1}{r^2} (1 + \frac{3\lambda}{2r}) \right. \\ \left. (c^2\lambda^2 + 4c\alpha^2) \right] w_i + \frac{4c\alpha^2}{r^2} (1 + \frac{3\lambda}{2r}) w_g - \frac{4\alpha^2}{r^2} \left[ c - \frac{1}{2r^2} \{ \lambda^2(3c + 2c^2) - \right. \\ \left. \frac{6c^2\alpha^2}{\beta+2} \} + \frac{\lambda}{2r} (c - c^2) \right] w_m + Z_u' w_u + Z_v' w_v + 2w_s \quad (5)$$

内側自由辺附近の階差方程式も同様に説明できか省略する。また、中間支点を離れて、周辺附近における格子点の階差方程式について、土木学会年次学術講演会第21回の前例を参照されたい。尚、上式の説明に於て、木戸・山口比は零といた。

4. 數値計算例 計算例として、図-1 に示す連続扇形平板に於て、 $l_1=l_2=l_3=l$ ,  $\alpha_1=\alpha_2=\alpha_3=\pi/9$  とし、等分布荷重を受ける場合について図-7 に主曲げモーメント、図-8 には  $\theta/d$  と  $d/2$  における  $\theta$  方向の断面における複数点が曲げモーメントと曲率を示す。但し、 $c=1.0$ ,  $\theta/d=1.0$  とする。

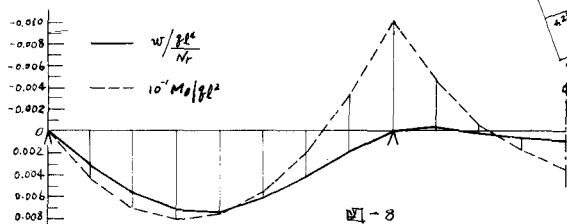


図-8

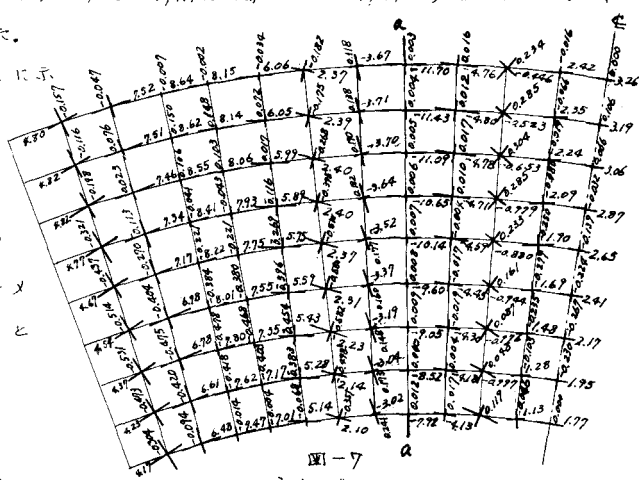


図-7  
主曲げモーメント

参考文献 荻原仁「曲線直交異方性扇形平板の曲げについて」、土木学会論文集第82号